

## مطالعه عددی تنش حرارتی تابش لیزر روی بافت سالم و سرطانی پوست\*

## مقاله پژوهشی

سجاد داودی (۱) مصطفی اسماعیلی (۲) حسن شکراللهی (۳)

**چکیده** تولید حرارت در فرایند گرمادرمانی ناشی از لیزر ممکن است موجب آسیب دیدن بافت سالم شود. بنابراین، پیش‌بینی توزیع دما و بررسی امکان آسیب بافت در اثر افزایش دما، همواره اصلی مهم و ضروری به‌شمار می‌رود. در این پژوهش، تغییرات دمایی و تنش‌های حرارتی ناشی از حرارت لیزر روی یک بافت سالم و سرطانی پوست انسان، با استفاده از الگوریتم عددی مبتنی بر روش المان محدود مدل‌سازی شده است. لازم به ذکر است، باریکه‌های لیزر به‌صورت گوسی در نظر گرفته شده و تضعیف نور لیزر در لایه‌های پوست مبتنی بر قانون بیر-لامبرت است و تغییر شکل در همه نقاط المان با معادلات تعادل بیان می‌شود. نتایج حل عددی شامل تأثیر شدت لیزر، شعاع تابش و طول موج بر توزیع دما، تنش فون مایسز و همچنین نقش پرفیوژن خون بر توزیع دما، ارائه می‌شود. همچنین، آسیب‌های حرارتی ناشی از لیزر بر روی بافت سرطانی، بر مبنای تئوری آرنیوس ارزیابی می‌شود. نتایج می‌تواند به‌عنوان اطلاعات اولیه در اختیار پزشکان قرار گیرد و پیش‌بینی دقیقی از اتفاقات در حین درمان را در اختیار آن‌ها قرار دهد.

**واژه‌های کلیدی** بافت سرطانی، لیزردرمانی، تنش حرارتی، پرفیوژن خون، آسیب حرارتی.

## مقدمه

با پیشرفت روزافزون علوم پزشکی و ظهور روش‌های درمانی جدید، نقش و حضور علم مکانیک در حوزه پزشکی برای بهبود و پیش‌بینی آسیب‌های احتمالی همواره حس شده است. یکی از این‌ها، درمان‌هایی است که با استفاده از لیزر انجام می‌شود. استفاده از گرما برای درمان، تاریخچه‌ای قدیمی دارد. شیوه استفاده مدرن از روش فوق‌گرمایی در زمینه درمان سرطان از زمانی شروع شد که بوش در سال ۱۸۶۶ در آلمان گزارشی درباره تحلیل اتفاقی چندین تومور بر روی صورت یک خانم ۴۳ ساله ارائه کرد و معتقد بود که تب، بیشترین تأثیر را بر درمان سرطان دارد [1]. محققان دیگری کار بوش را ادامه دادند و بعضی از آن‌ها با مطالعه شیوه‌های درمان سرطان، دریافتند که تومورها در اثر گرما در مقایسه با بافت سالم سریع‌تر می‌میرند. همچنین زمانی که گرما با تابش اشعه ایکس توأم می‌شود، تخریب تومور

سریع‌تر رخ می‌دهد [2,3]. براساس این اطلاعات، وارن در سال ۱۹۲۵ با ارائه روش فیزیکی فوق‌گرمایی برای درمان سرطان [4]، موفق شد تعدادی تومور مقعدی را که قبل از آن آمیدی به درمان آن‌ها نبود، معالجه کند. به‌طور کلی، هرگونه افزایش دمای بدن که بیشتر از حالت طبیعی باشد ( $37^{\circ}\text{C}$  برای انسان)، گرمای اضافی تلقی می‌شود. روش فوق‌گرمایی برای افزایش درجه حرارت بدن انسان به بیشتر از  $41^{\circ}\text{C}$  با عامل خارجی، برای درمان، گفته می‌شود. روش فوق‌گرمایی در ابتدا صرفاً برای درمان بعضی از بیماری‌های مسری و بیماری‌هایی که باعث از کار افتادن عضو می‌شدند به کار رفت. ولی در سال‌های گذشته از این روش برای درمان سرطان نیز استفاده شده است. پیشرفت‌های جدید در فناوری ساخت وسایل و به‌طور نسبی بی‌نتیجه‌بودن عمل جراحی، شیمی‌درمانی و رادیوتراپی برای کنترل مناسب سرطان، سبب استقبال از روش فوق‌گرمایی شده است.

DOI: 10.22067/jacsm.2021.56871.0

\* تاریخ دریافت مقاله ۹۹/۱/۲۲ و تاریخ پذیرش آن ۱۴۰۰/۱/۶ می‌باشد.

(۱) کارشناسی ارشد، دانشکده مهندسی مکانیک، دانشکده فنی و مهندسی، دانشگاه خوارزمی، تهران.

(۲) نویسنده مسئول، استادیار، گروه مهندسی مکانیک، دانشکده فنی و مهندسی، دانشگاه خوارزمی، تهران.

Email: m.esmaeili@khu.ac.ir

(۳) استادیار، گروه مهندسی مکانیک، دانشکده فنی و مهندسی، دانشگاه خوارزمی، تهران.

به جریان یونی منتقل می‌شود که منجر به احساس درد می‌شود. در نتیجه، تنش، دما، صدمات ناشی از سوختگی و درد به شدت باهم در ارتباط هستند [10]. مدل‌سازی حرارتی پوست، ابزاری مهم برای بررسی تأثیر منابع گرمای خارجی و پیش‌بینی ناهنجاری‌های موجود در بافت است. مدل انتقال بیوشیمیایی که پنس ارائه کرده است [11]، باتوجه به سادگی آن، بسیار شایان توجه بوده است و محققان مختلف در یک‌دهه گذشته به‌عنوان معادله اساسی برای شبیه‌سازی توزیع دمای گذرا در بافت، در حین گرمادرمانی ناشی از لیزر، از آن استفاده کرده‌اند [12]. همچنین، مدل‌های عددی دیگری برای نشان‌دادن توزیع دما در پوست در شرایط مختلف درمان بررسی شده است [13]. امروزه مجموعه بزرگی از روش‌های لیزری که بیشتر به خانواده جراحی با حداقل اثر تهاجمی تعلق دارند، در سراسر دنیا به کار گرفته می‌شوند. جراحی با حداقل اثر تهاجمی به معنی جراحی بدون تماس و با کمترین میزان خون‌ریزی است. ویژگی‌های فوق باعث شده است لیزر به‌عنوان یک تیغ جراحی منحصربه‌فرد و وسیله کمک‌درمانی ارزشمندی مطرح شود. برای جلوگیری از آسیب به بافت در حین درمان با لیزر، لازم است حرارت منتقل شده کنترل شود. به همین دلیل روش‌های متعددی همچون استفاده از ترموکوپل‌ها، فیبرهای نوری گرمایی و التراسوند، سونوگرافی رنگی داپلر، تصویربرداری اشعه ایکس و MRI در برخی کاربردهای لیزردرمانی استفاده می‌شود. درباره استفاده از ترموکوپل‌ها و فیبرهای نوری گرمایی، دما فقط در چند نقطه از بافت قابل نمایش است. التراسوند دقت پایینی دارد و تصویربرداری با اشعه ایکس همواره با محدودیت رزولوشن دمایی همراه است. در MRI رزولوشن گرمایی بالایی وجود دارد، اما این روش، روش پرهزینه‌ای است. باتوجه به نواقصی که در ارتباط با کنترل و رؤیت تغییرات دمایی برای هر کدام از روش‌هایی که ذکر شد، شبیه‌سازی‌های کامپیوتری می‌تواند جایگزین مناسبی برای آن‌ها باشد و با پیش‌بینی آسیب‌ها و بهینه‌سازی شرایط درمانی، کمک شایانی به بهبود فرایند درمان کند. همچنین با شبیه‌سازی کامپیوتری

هدف از درمان سرطان به‌روش فوق‌گرمایی، تولید گرمای کافی برای کشتن سلول‌های سرطان بدون بروز آسیب به بافت سالم است [5].

برای انتخاب نوع درمان و کنترل آن، دانستن عوامل متعدد، از جمله اندازه، عمق و محل تومور بسیار مهم است. برای جلوگیری از مرگ توده نسوج زنده، به‌واسطه جذب سمومی که از تجزیه تومور حاصل می‌شود، لازم است تومورهای بزرگ جزء به جزء درمان شوند. روش درمان منطقه‌ای، مناسب‌ترین راه درمان تومورهای واقع در ناحیه زیرین (۱۰ تا ۱۵ سانتی‌متر) است، زیرا در این روش، سوختگی و مرگ کمتری در بافت زنده رخ می‌دهد.

امروزه از لیزر به‌عنوان روش درمانی مؤثری بهره گرفته می‌شود. اصطلاح لیزر به معنای تقویت نور را اولین بار ممز مطرح کرد [6]. از کاربردهای مهم درمانی لیزر، درمان بیماری‌های پوستی و همچنین کاربرد آن در چشم‌پزشکی است. اولین پژوهش‌ها را در این زمینه زاریت و همکارانش دقیقاً یک سال بعد از اختراع لیزر انجام دادند [7]. به بهره‌گیری از لیزر به‌واسطه تولید حرارت در بافت، همواره به‌عنوان روش درمانی در علوم پزشکی توجه می‌شده است. توجه به حرارت تولیدی و کنترل آن برای کاهش آسیب‌های حرارتی از اهمیت زیادی برخوردار است. عوامل متعددی از جمله خواص حرارتی و نوری بافت و منبع حرارتی، نقش بسزایی در پاسخ حرارتی هر بافت زیر تابش لیزر دارند [7]. همچنین حرارت تولیدی در بافت می‌تواند تغییر خواص مکانیکی، حرارتی و نوری بافت را به همراه داشته باشد [8]. برای تعیین مقدار مناسب شدت لیزر و زمان تابش لیزر بر روی بافت، می‌توان از ابزارهای شبیه‌سازی برای پیش‌بینی پاسخ‌های حرارتی و مکانیکی بافت استفاده کرد. پوست بزرگ‌ترین ارگان حسی بدن در تماس با محیط خارجی است و می‌تواند به محرک‌هایی از جمله دما، لمس، لرزش، فشار و درد پاسخ دهد. در حین گرم‌شدن، تنش مکانیکی ناشی از گرما به دلیل داناتوراسیون حرارتی پوست ایجاد می‌شود که منجر به انقباض می‌شود [9]. سپس، انرژی مکانیکی و حرارتی

درون بافت انسانی توجه کرد تا در نهایت درمانی با حداقل آسیب و درد به کار گرفته شود.

### بیان مسئله

در این مطالعه، مدل تغییر شکل مکانیکی حرارتی پوست در ترموتراپی ناشی از لیزر براساس یک مدل پوستی سه لایه شبیه سازی شده است. برای تجزیه و تحلیل تغییرات دما در لایه های بافت پوست، از شبیه سازی عددی برپایه روش المان محدود استفاده شده است. همچنین، از معادله جذب انرژی تابش لیزر براساس قانون بیر-لامبرت و توزیع حرارتی منطبق بر الگوی پنس استفاده شده است. علاوه بر آن، برای توصیف پدیده انقباض ناشی از لیزر در پوست، از معادله تعادل بهره برده شده است. نخست، یک المان استوانه ای از پوست انسان متشکل از ۳ لایه اپیدرم، درم و یک لایه چربی هرکدام به ترتیب به ضخامت ۰/۰۵، ۱/۹۵ و ۱۰ میلی متر، مانند شکل (۱)، به صورت متقارن محوری مدل سازی شده و خواص مکانیکی، حرارتی و نوری هر لایه باتوجه به مراجع [13,19-21] به بافت و تومور سرطانی نسبت داده شده است. این خواص در جدول (۱) آورده شده است. همچنین خواص جریان خون عبوری از بافت، مطابق مراجع [13,19-21] طبق جدول (۲) در نظر گرفته شده است.

در انتخاب شعاع المان استوانه ای باید به ۲ نکته توجه کرد:

۱. شعاع انتخابی باید به نحوی در نظر گرفته شود که باتوجه به توان، طول موج و شعاع تابش لیزر، نواحی تحت تأثیر تابش همگی در المان امکان رؤیت و بررسی داشته باشند.
۲. باید شعاعی انتخاب شود که نتایج مستقل از دامنه به دست آیند.

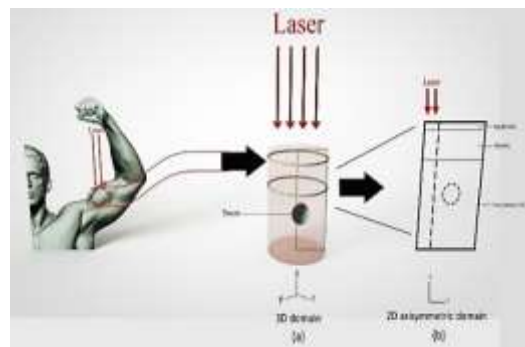
می توان پارامترهای مؤثر در طول درمان، همچون نوع لیزر، شدت لیزر، مدت تابش، شعاع تابش و خصوصیات بافت زیر تابش را قبل از شروع درمان، تعیین و مدل سازی کرد. در مطالعاتی، مدل هایی از بافت انسان در معرض میدان های الکترومغناطیس قرار داده شده است [14]. علاوه بر آن، لی و لو [15] مطالعاتی بر روی توزیع دما در مدل هایی از بافت با در نظر گرفتن رگ های خونی انجام داده اند. شن و ژانگ یک مدل ریاضی ارائه کردند که تعاملات حرارتی مکانیکی در بافت را در دماهای بالا توصیف می کند [16]. به تازگی یک شبیه سازی عددی برای به حداقل رساندن آسیب حرارتی ناخواسته با تمرکز بر اثر خنک کننده سطح انجام شده است [17].

همچنین در یک مدل سازی دیگر، تغییر شکل های حرارتی مکانیکی پوست نیز بررسی شده است. رفتار انقباضی یک بافت زیر حرارت به عواملی همچون ماکزیمم دما، زمان تابش و فشار مکانیکی، که هنگام گرم کردن بافت روی آن اعمال می شود، بستگی دارد. در بسیاری از این مطالعات، محققان برای تجزیه و تحلیل نتایج شبیه سازی شده، از تحلیل المان محدود استفاده کرده اند. کیانچین و همکاران [18] نتایج شبیه سازی سرطان کبد را که با استفاده از آنتن محوری مایکروویو تحت درمان قرار گرفته است، ارائه کردند.

تا امروز مطالعات فراوانی در حوزه روش های درمانی تومورهای سرطانی انجام شده است، اما توجه به تنش های حرارتی و جابه جایی های اتفاق افتاده در بافت و تومور سرطانی در لیزر درمانی به عنوان عامل بروز درد، حلقه گم شده ای است که به طور خاص در این پژوهش به آن پرداخته شده است. در این مقاله با انجام شبیه سازی و پیش بینی اثرات تنش های حرارتی ناشی از لیزر در فرایند درمان تومورهای سرطانی به عنوان عامل بروز درد، تلاش شده است نتایجی مبتنی بر واقعیت ارائه شود. به نتایج ارائه شده می توان به عنوان مرجعی برای مقایسه با آستانه درد ناشی از تنش های فشاری و کششی

شعاعی در ۲ زمان مختلف نشان داده شده است. همان طور که در این شکل مشخص است، با انتخاب شعاع ۱۰ میلی متر برای ناحیه محاسباتی، نتایج حل عددی مستقل از شعاع دامنه می شود.

در گام دوم این مطالعه، توموری کروی شکل به شعاع ۳ میلی متر در عمق ۶ میلی متری بافت و دقیقاً به مرکزیت بافت در بین لایه سوم که همان لایه چربی است، در نظر گرفته شده است. در شکل (۳) منحنی تعامل لیزر و بافت نشان داده شده است [22]. مطابق این نمودار، شدت تابش و زمان تابش طوری انتخاب شده است که تومور تحت اثر تابش قرار گیرد.



شکل ۱ مدل دوبعدی و سه بعدی بافت پوست زیر تابش لیزر

در شکل (۲)، تغییرات دمایی بافت در راستای

جدول ۱ خواص مکانیکی، حرارتی و نوری لایه‌ها و تومور سرطانی پوست [13,19-21]

	Epidermis	Dermis	Subcutaneous fat	Tumor
Tissue density , $\rho(\text{kg/m}^3)$	۱۲۰۰	۱۰۹۰	۱۲۱۰	۱۰۵۰
Specific heat of tissue , $C(\text{j/kg.k})$	۳۹۵۰	۳۳۵۰	۲۲۴۰	۳۶۰۰
Thermal conductivity , $k(\text{w/(m.k)})$	۰/۲۴	۰/۴۲	۰/۱۹۴	۰/۵
Metabolic heat generation , $Q_{\text{met}}(\text{W/m}^3)$	۳۶۸	۳۶۸	۳۶۸	۳۶۸
Thermal expansion coefficient $(1/k)$	۰/۰۰۰۱	۰/۰۰۰۱	۰/۰۰۰۱	۰/۰۰۰۰۶
Poisson's ratio (-)	۰/۴۸	۰/۴۸	۰/۴۸	۰/۴۹۶
Young's modulus (Mpa)	۱۰۲	۱۰/۲	۰/۰۱۰۲	۰/۲۷
Absorption coefficient , $a(1/m)$ , $\lambda=532\text{nm}$	۰/۹	۰/۲۴	۰/۲۴	۰/۲۴
Absorption coefficient , $a(1/m)$ , $\lambda=800\text{nm}$	۰/۵۳	۰/۲۴	۰/۲۴	۰/۲۴
Scattering coefficient , $b(1/m)$			۵	

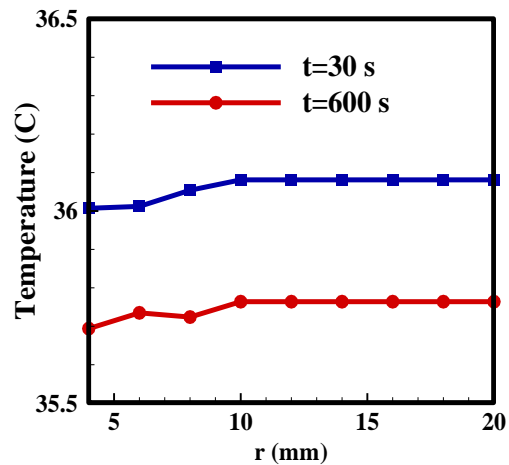
جدول ۲ خواص جریان خون [13,19-21]

	Epidermis	Dermis	Subcutaneous fat	Tumor
Blood perfusion , $\omega_b(1/s)$	۰	۰/۰۰۳۱	۰/۰۰۳۱	۰/۰۰۳۱
Blood density , $\rho(\text{kg/m}^3)$	۱۰۶۰			
Specific heat of blood , $C_b(\text{j/kg.k})$	۳۶۶۰			

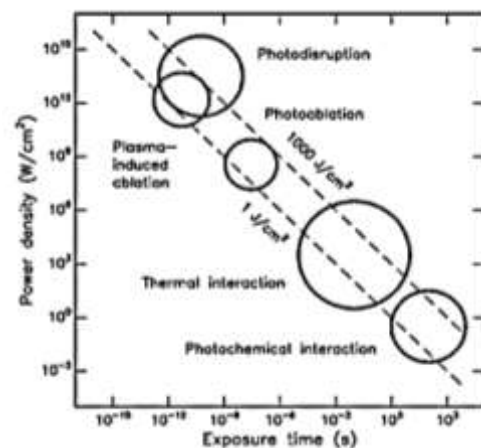
به صورت ناپایدار فرض شده است. در این پژوهش ضرایب جذب ۳ لایه از بافت پوست، ویژگی‌های حرارتی و ضخامت ۳ لایه، حرارت تولیدی حاصل متابولیسم بدن، ضرایب انبساط حرارتی، ضرایب پواسون و مدول یانگ از مراجع [13,19-21] استخراج شده است. در این شبیه‌سازی، پایین‌ترین سطح از پایین‌ترین لایه پوست، در مطالعاتی که مقادیر تنش حرارتی استخراج می‌شود، به صورت ثابت و در مطالعات مربوط به استخراج مقادیر جابه‌جایی در لایه‌های پوست، به صورت آزاد در نظر گرفته می‌شود.

### معادلات

انتقال حرارت در بافت بیولوژیکی زنده، فرایندی پیچیده است که شامل انتقال حرارت هدایتی درون بافت و سیستم عروق، انتقال حرارت جابه‌جایی میان خون و بافت در نتیجه گردش خون در بدن از طریق رگ‌ها، ریزش خون (تزریق وریدی) از طریق مویرگ‌های درون بافت، تولید حرارت متابولیک ناشی از سوخت‌وساز در بدن، اتلاف حرارت از طریق موهای سطح پوست و... است. انتقال حرارت در بافت با فرایند هدایت، جابه‌جایی، تبخیر و تابش از سطح پوست صورت می‌گیرد. در اینجا هدف از تابش لیزر در بافت، ایجاد گرما برای از بین بردن سلول‌های سرطانی است. به علت شکل پیچیده بافت بیولوژیکی زنده، مدل‌کردن بافت سخت است و فرض‌های ساده‌کننده‌ای برای مدل‌کردن بافت لازم است. برای به دست آوردن توزیع دما درون بافت پوست، در سال ۱۹۴۸ معادله انتقال حرارت زیستی مدل پنس ارائه شد. وی توزیع دما در ساعد را در حضور گرادیان دما و جریان خون بررسی کرد. نتایج وی نشان می‌دهد که جریان خون نه تنها باعث گرم شدن سطح بافت می‌شود، بلکه موجب انتقال حرارت بین بافت پوست ساعد و محور اندام می‌شود. آنچه که درباره این مدل حائز اهمیت است، سادگی و امکان استفاده از آن برای مدل‌سازی فرایندهایی مانند حرارت‌درمانی،



شکل ۲ تغییرات دمایی بافت در راستای شعاعی در در ۲ زمان مختلف



شکل ۳ نمودار چگالی توان برحسب زمان پرتودهی در برهم‌کنش‌های بافتی [22]

پوست متشکل از بافت ناهمگن پیچیده است، اما مدل استفاده‌شده در این مطالعه، شامل یک صفحه متقارن محوری با ۳ لایه مجزا (اپیدرم، درم و لایه‌ای از چربی) در نظر گرفته شده است. فرض دیگر این است که بافت تقریباً یکنواخت، همگن و ایزوتروپیک است، به این معنی که هیچ تفاوتی در پارامترهای حرارتی و نوری در هر لایه وجود ندارد. علاوه بر این، فرض بر این است که نقطه لیزر دایره‌ای است. همچنین سطح بین لایه‌های بافت، صاف در نظر گرفته شده و انتقال حرارت

معادلات تعادل، معادلات تنش- کرنش و روابط جابه‌جایی-کرنش به صورت روابط (۴) تا (۱۰) بیان می‌شود.

$$\frac{\partial \sigma_{rr}}{\partial r} + \frac{\partial \sigma_{rz}}{\partial z} + \frac{\sigma_{rr} - \sigma_{\phi\phi}}{r} + F_r = 0 \quad (4)$$

$$\frac{\partial \sigma_{rz}}{\partial r} + \frac{\partial \sigma_{zz}}{\partial z} + \frac{\sigma_{rz}}{r} + F_z = 0 \quad (5)$$

$$\varepsilon_{rr} = \frac{1}{E} [\sigma_{rr} - \nu(\sigma_{\phi\phi} + \sigma_{zz})] + \varepsilon^{th} \quad (6)$$

$$\varepsilon_{zz} = \frac{1}{E} [\sigma_{zz} - \nu(\sigma_{\phi\phi} + \sigma_{rr})] + \varepsilon^{th} \quad (7)$$

$$\varepsilon_{\phi\phi} = \frac{1}{E} [\sigma_{\phi\phi} - \nu(\sigma_{rr} + \sigma_{zz})] + \varepsilon^{th} \quad (8)$$

$$\varepsilon_{rz} = \frac{\sigma_{rz}(1+\nu)}{E} \quad (9)$$

$$\varepsilon_{rr} = \frac{\partial u_r}{\partial r}, \quad \varepsilon_{zz} = \frac{\partial u_z}{\partial z}, \quad \varepsilon_{\phi\phi} = \frac{u}{r}, \quad \varepsilon_{rz} = \frac{1}{2} \left( \frac{\partial u_r}{\partial z} + \frac{\partial u_z}{\partial r} \right) \quad (10)$$

در این معادلات،  $\sigma$  تنش،  $\varepsilon$  کرنش و  $F$  نیروی خارجی وارد شده به جسم است که در اینجا در نبود نیروی خارجی مقدارش برابر با صفر است.  $E$  مدول یانگ،  $\nu$  ضریب پواسون،  $u$  میانگین جابه‌جایی و  $\varepsilon^{th}$  مقدار کرنش حرارتی است که با استفاده از رابطه (۱۱) محاسبه می‌شود.

$$\varepsilon^{th} = \int_{T_{ref}}^T \alpha dT \quad (11)$$

همچنین مؤلفه‌های دیگر تنش و کرنش، برابر صفر در نظر گرفته می‌شود.

$$\sigma_{r\theta}, \sigma_{\theta r}, \sigma_{z\theta}, \sigma_{\theta z}, \sigma_{rz}, \sigma_{zr} = 0 \text{ Pa} \quad (12)$$

$$\varepsilon_{r\theta}, \varepsilon_{\theta r}, \varepsilon_{z\theta}, \varepsilon_{\theta z}, \varepsilon_{rz}, \varepsilon_{zr} = 0 \quad (13)$$

در این مسئله مرکز سطح بافت، یعنی جایی که مستقیم زیر تابش لیزر است، به عنوان مرکز مختصات انتخاب می‌شود. پایین‌ترین سطح از پایین‌ترین لایه پوست، در حالتی که مقادیر تنش حرارتی استخراج

اندازه‌گیری ریزش خون، استفاده از سرما برای از بین بردن سلول‌های یک اندام و شبیه‌سازی حرارتی کل بدن است. پنس تبادل انرژی بین بافت و رگ‌های خونی را در سیستم مویرگی، یعنی جایی که سرعت خون خیلی پایین است، در نظر گرفت (رگ‌هایی با قطر ۰/۰۰۵ تا ۰/۰۱۵ میلی‌متر). او این‌طور فرض کرد که مشارکت گرمایی خون را می‌توان به صورت وجود استخری از خون در شبکه مویرگی مدل کرد. مانند این که خون رگ‌ها وارد استخری از خون در دمای  $T_a$  می‌شود (سیستم مویرگی) و به سرعت در تبادل گرما با محیط اطرافش، به تعادل گرمایی می‌رسد. سپس خون از استخر خارج و به سیاه‌رگ وارد می‌شود. از این‌رو، او ادعا کرد انرژی کل مبادله شده با خون در جریان می‌تواند به عنوان یک منبع گرمایی مدل شود که اندازه آن وابسته به جریان حجمی خون و اختلاف دمای بافت اطراف و دمای رگ‌های خونی است. برای بیان حرارت تولیدی در بافت زیر تابش لیزر، از معادلات پنس استفاده می‌شود. این معادله با رابطه (۱) بیان می‌شود.

$$\rho C \frac{\partial T}{\partial t} = \nabla \cdot (k \nabla T) + \rho_b C_b \omega_b (T_b - T) + Q_{met} + Q_{laser} \quad (1)$$

که در آن،  $\rho$  چگالی بافت،  $C$  ظرفیت حرارتی بافت،  $k$  ضریب هدایت حرارتی بافت،  $T$  دمای بافت،  $T_b$  دمای خون،  $\rho_b$  چگالی خون،  $C_b$  ظرفیت گرمایی خون،  $\omega_b$  نرخ پرفیوژن خون،  $Q_{met}$  تولید حرارت متابولیک و  $Q_{laser}$  حرارت تولیدی با لیزر در بافت است. شدت لیزر با قانون بیر-لامبرت طبق رابطه (۲)، بر روی بافت تابانده می‌شود:

$$I(z) = I_0 e^{\left(-\frac{r^2}{2\sigma^2}\right)} \cdot e^{(bz)} \cdot e^{-(a+b)z} \quad (2)$$

و مقدار انرژی جذب شده به وسیله بافت زیر تابش لیزر با رابطه (۳) بیان می‌شود.

$$Q_{laser} = a I_0 e^{\left(-\frac{r^2}{2\sigma^2}\right)} \cdot e^{(bz)} \cdot e^{-(a+b)z} \quad (3)$$

خواهد افتاد. اثر گرما بر روی بافت‌های توموری بسیار شدیدتر از بافت سالم است. جریان خون در بافت سالم با افزایش درجه حرارت به سرعت افزایش می‌یابد.

معادلات زیست گرما، تعادل و شرایط مرزی منطبق بر آن‌ها با استفاده از روش المان محدود در نرم‌افزار کامسول حل شده است.

در این مدل‌سازی، سطح بافت پوست به عنوان سطحی که همواره در لیزردرمانی تحت تأثیر جریان هوا قرار دارد، می‌تواند نقش مؤثری در نتایج ایفا کند. به همین دلیل، جابه‌جایی هوا بر روی پوست به عنوان یکی از شرایط مرزی حرارتی لحاظ شده است. معادله حاکم بر انتقال حرارت جابه‌جایی به صورت زیر تعریف می‌شود:

$$-n \cdot (-kVT) = h_{am}(T - T_{am}) \quad (15)$$

که  $h_{am}$  ضریب جابه‌جایی هوا و مقدارش برابر با  $10(w/m^2.k)$  در نظر گرفته شده است.  $T_{am}$  دمای محیط و مقدارش  $25^\circ C$  فرض شده است. در این شبیه‌سازی، دمای اولیه بافت و همچنین دمای جریان خون  $36^\circ C$  فرض شده است.

در این پژوهش بین لایه‌های پوست هیچ‌گونه مقاومت تماسی در نظر گرفته نشده است و بر همین اساس معادله شرط پیوستگی به صورت رابطه (16) برقرار است:

$$n \cdot (k_q \nabla T_q - k_q \nabla T_q) = 0 \quad (16)$$

### نتایج و بحث

در ابتدای این بخش صحت مدل‌سازی ارزیابی می‌شود. پس از آن، نتایج حل عددی به‌ازای پارامترهای مختلف ارائه می‌شود. در ابتدا نتایج حاصل از قرارگیری بافت پوست سالم در معرض تابش لیزر ارائه می‌شود و این نتایج با نتایج پژوهش‌های قبلی [25] مقایسه می‌شود. در ادامه، نتایج واکنش بافت حاوی تومور سرطانی در مواجهه با پرتوهای لیزر ارائه شده و پس از بررسی آسیب‌های احتمالی رخ داده در بافت تومور، به انتخاب

می‌شود، به صورت ثابت و در حالت استخراج مقادیر جابه‌جایی در لایه‌های پوست، به صورت شرایط مرزی آزاد فرض می‌شود.

افزایش دما می‌تواند همواره موجب آسیب‌های برگشت‌ناپذیر به بافت شود. برای پیش‌بینی میزان آسیب گرمایی برگشت‌ناپذیر بافت‌های بیولوژیکی، کمیت کسر تخریب سلولی تعریف می‌شود. میزان کسر تخریب سلول‌های سرطانی از طریق معادله آرنیوس پیش‌بینی و محاسبه می‌شود. در واقع معادله آرنیوس معیاری برای کنترل و مدیریت فرایند تخریب سلول‌های سرطانی است. اولین کارهای تحقیقاتی در زمینه کاربرد مدل‌های آسیب حرارتی به‌وسیله موریتز و هنریک در سال 1947 گزارش شد. سپس معادله تجربی آسیب را آرنیوس برای توصیف اثر گرما روی آهنگ واکنش‌های شیمیایی توسعه داد. متأسفانه به‌دست آوردن داده‌های تجربی برای استخراج پارامترهای این معادله بسیار مشکل است و این به‌علت ناهمگنی بافت‌ها و نبود قطعیت در اندازه‌گیری نسبت بقاست. با این توضیحات مدل آرنیوس به عنوان یگانه مدل با بیشترین دقت در پیش‌بینی تخریب سلول‌های سرطانی همواره در مرکز توجه محققان بوده است.

برای محاسبه کسر تخریب حرارتی سلول‌های موجود در تومور و بافت از معادله آرنیوس به صورت رابطه (14) استفاده می‌شود.

$$\Omega = \ln \left( \frac{c(r,t)}{c(r,0)} \right) = \int_0^t A \cdot \exp\left(-\frac{E_a}{RT}\right) dt \quad (14)$$

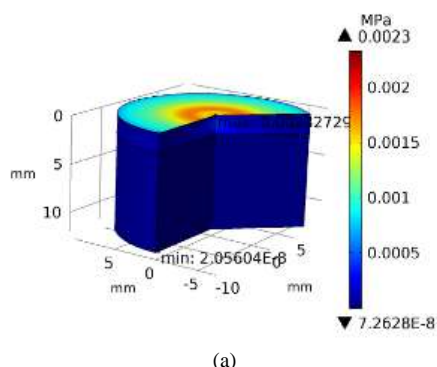
میزان تخریب بافت به انرژی فعال‌سازی کنش‌های برگشت‌ناپذیر، دما و مدتی که بافت زیر تابش قرار گرفته است، بستگی دارد [23,24]. اگر  $\Omega$  بزرگ‌تر از یک باشد، یعنی بافت تخریب شده است و اگر کمتر از یک باشد، یعنی بافت آسیب جدی ندیده است. برای از بین بردن تومورهای سرطانی، همواره دمایی در بازه 60 تا 80 درجه سانتی‌گراد نیاز است. در این بازه، تغییر در ساختار پروتئین و کلاژن-انعقاد پروتئین اتفاق

شرایط بهینه درمان پرداخته می شود.

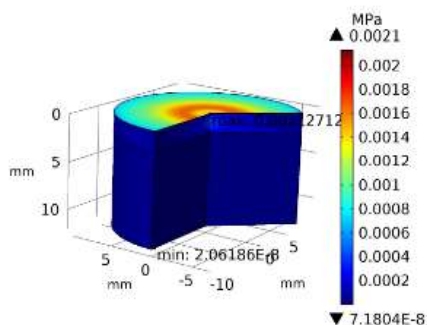
### هم‌گرایی و اعتبارسنجی

ابتدا برای اطمینان از وابسته نبودن نتایج حل عددی به شبکه محاسباتی، شبیه‌سازی عددی به‌ازای شبکه‌های مختلف انجام شد. نتایج نشان می‌دهد با استفاده از یک شبکه محاسباتی با ۲۲۰۰۰ المان، حل عددی مستقل از شبکه محاسباتی می‌شود. برای اطمینان از صحت و دقت محاسبات، نتایج شبیه‌سازی بافت در معرض تابش لیزر در این مطالعه با نتایج شبیه‌سازی چن و همکاران [13] که روی یک بافت سه‌لایه پوست متشکل از اپیدرم، درم و لایه چربی است، مقایسه شد. بدین منظور، بافت پوست در مواجهه با لیزری با توان ۲ وات و طول موج ۵۳۲ نانومتر قرار گرفت. همان‌طور که از نتایج شکل (۴) مشخص است، انطباق مناسبی بین نتایج این مطالعه و مرجع [13] وجود دارد.

می‌توان به افزایش عمق نفوذ گرما در بافت با گذر زمان پی برد. این مطلب بیانگر نقش هدایت حرارتی، در هدایت انرژی لیزر جذب‌شده در بافت پوست است، به‌طوری‌که ماکزیمم دما در ۳۰ ثانیه در عمق ۷/۳ میلی‌متری اتفاق می‌افتد و در ۶۰ ثانیه این ماکزیمم دما در عمق ۷/۸ میلی‌متری اتفاق افتاده است. همچنین با مقایسه این (۲) شکل، افزایش تنش فون مایسز با گذر زمان مشهود است. از این مقایسه می‌توان پارامتر زمان را جزو پارامترهای تأثیرگذار در طول درمان به حساب آورد. علاوه بر آن، با مقایسه تنش‌های فون مایسز حاصل از ۲ طول موج ۵۳۲ و ۸۰۰ نانومتر می‌توان دریافت که با افزایش طول موج، ماکزیمم تنش فون مایسز در بافت مقدار کمتری را تجربه خواهد کرد. این امر به دلیل خواص مختلف لایه‌های پوست در طول موج‌های متفاوت است.

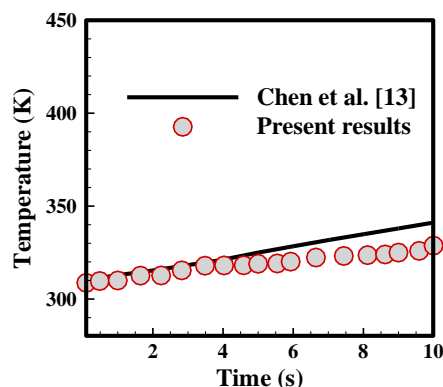


(a)



(b)

شکل ۵ کانتور تنش فون مایسز در طول موج (a) ۵۳۲nm (b) ۸۰۰، در ۳۰ ثانیه

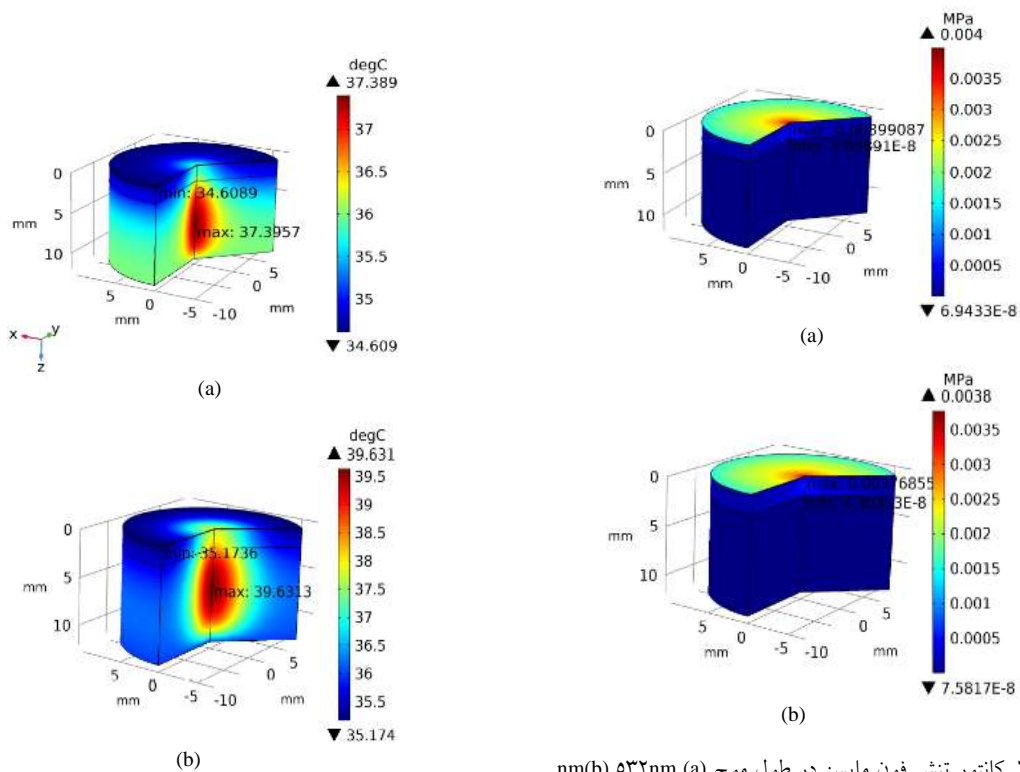


شکل ۴ اعتبارسنجی حل عددی از طریق مقایسه نتایج این مطالعه با نتایج چن و همکاران [13]

### نتایج پارامتریک بافت پوست سالم

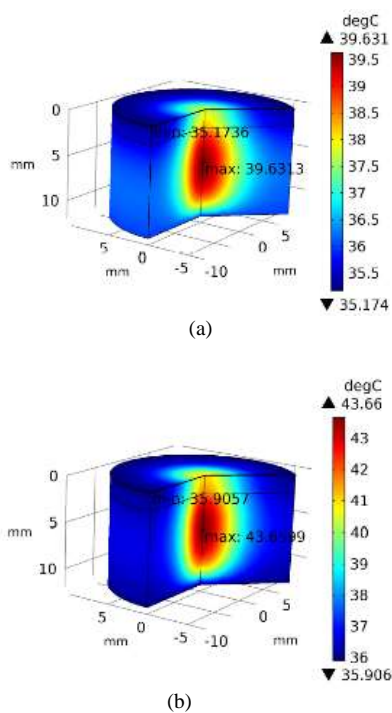
در شکل‌های (۵) و (۶)، نقش زمان تابش در تغییرات تنش فون مایسز (در زمان‌های ۳۰ و ۶۰ ثانیه) در حالتی که شعاع تابش یک میلی‌متر، شدت تابش یک‌وات بر میلی‌متر مربع و طول موج ۵۳۲ و ۸۰۰ نانومتر باشد، بررسی شده است. از مقایسه کانتورهای شکل (۵) و (۶)





شکل ۶ کانتور تنش فون مایسز در طول موج (a) ۵۳۲nm (b) ۱۰۶۴nm در ۸۰۰ در ۶۰ ثانیه

شکل ۷ کانتور تغییرات دمایی در شعاع تابش (a) ۱m (b) ۲m در  $\lambda=532nm$  و  $I=1w/mm^2$



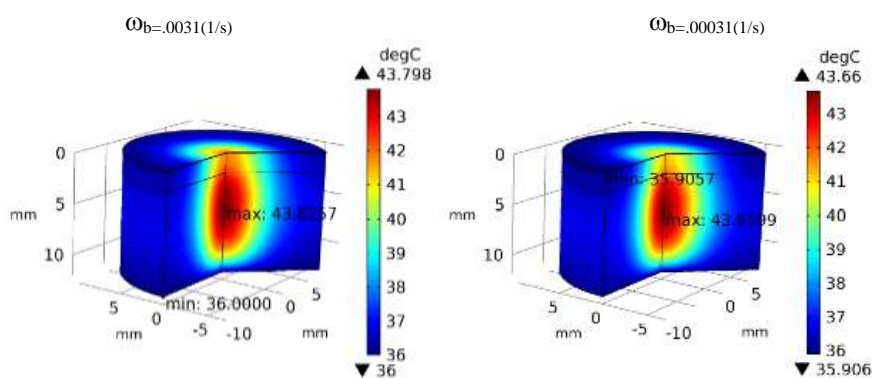
شکل ۸ کانتور تغییرات دمایی در شدت تابش (a)  $I=1w/mm^2$ ، (b)  $I=2w/mm^2$

در شکل (۷) توزیع دما در ۲ شعاع تابش مختلف و شدت تابش یکوات بر میلی متر مربع و طول موج ۵۳۲ نانومتر نشان داده شده است. همان طور که مشخص است، با افزایش شعاع پرتو، ماکزیمم دما به سمت سطوح بالایی بافت متمایل می شود و مقدار ماکزیمم دما با افزایش شعاع پرتو افزایش می یابد. شعاع پرتو بیشتر، منطقه تابش بزرگتری را ایجاد می کند که نتیجه آن درجه حرارت بالاتر در ناحیه وسیع تری از بافت است. در شکل (۸)، اثر تغییر شدت تابش بر کانتور دما نشان داده شده است. باتوجه به این شکل دریافت می شود که که بیشترین دما همواره در مرکز اتفاق می افتد و با افزایش شدت تابش، دمای ماکزیمم افزایش می یابد که نشانگر رابطه مستقیم شدت تابش و دماست. با مشاهده بررسی هایی که تاکنون از مقادیر تنش فون مایسز در حالات مختلف انجام شده است، دریافت می شود که تنش فون مایسز با طول موج رابطه برعکس و با شدت تابش و شعاع پرتو رابطه مستقیم دارد.

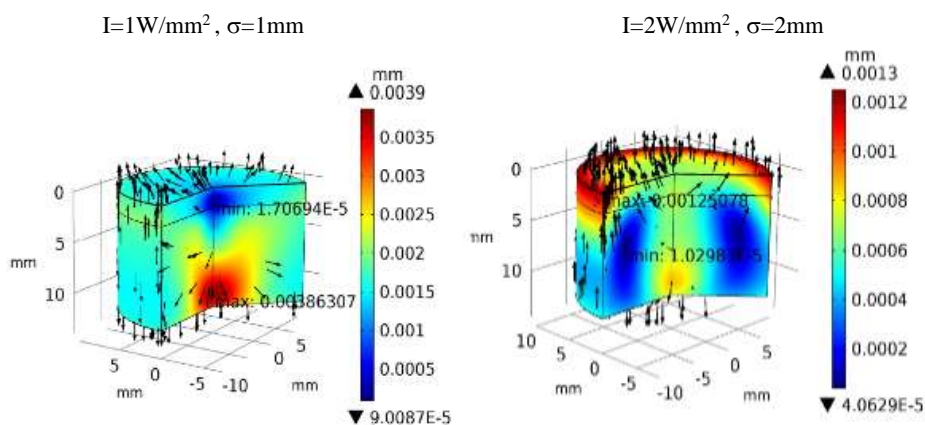
انقباض) بافت در سطوح بالایی با شدت بیشتری می شود.

در جدول (۳) تغییرات تنش های فون مایسز در ۶۰۰ ثانیه در طول موج های ۵۳۲ و ۸۰۰ نانومتر و شعاع تابش یک میلی متر استخراج و با نتایج پاجاراپورن و همکاران [25] مقایسه شده است. باتوجه به نتایج جدول (۳)، مشاهده می شود که با افزایش طول موج، تنش فون مایسز در مرکز بافت زیر تابش کم می شود. دلیل این امر بالابودن ضریب جذب در طول موج ۵۳۲ نانومتر در مقایسه با طول موج ۸۰۰ نانومتر در بافت پوست است که منجر به جذب حرارت بیشتر در سطح می شود و به طبع تنش بیشتری را به همراه دارد.

در شکل (۹)، اثر پرفیوژن خون بر توزیع حرارتی در لایه درم پوست نشان داده شده است. همان طور که در این شکل مشخص است، میزان پرفیوژن خون با توزیع حرارتی رابطه معکوس دارد، یعنی هرچه پرفیوژن خون افزایش یابد، دمای ماکزیمم کم می شود. این امر به دلیل انتقال حرارت همرفتی در بافت پوست است و افزایش پرفیوژن خون در لیزردرمانی به عنوان یک عامل خنک کننده برای کاهش دمای بافت پوست عمل می کند. همان طور که در شکل (۱۰) کاملاً مشهود است، تفاوت خصوصیات حرارتی، نوری و مکانیکی لایه های پوست در گرمادرمانی منجر به تغییرات (انبساط و



شکل ۹ کانتور تغییرات دمایی در لایه درم پوست در ۶۰۰ ثانیه در حالت ۲ با پرفیوژن های متفاوت در  $I=2\text{W/mm}^2$ ,  $\sigma=2\text{mm}$ ,  $\lambda=532\text{nm}$

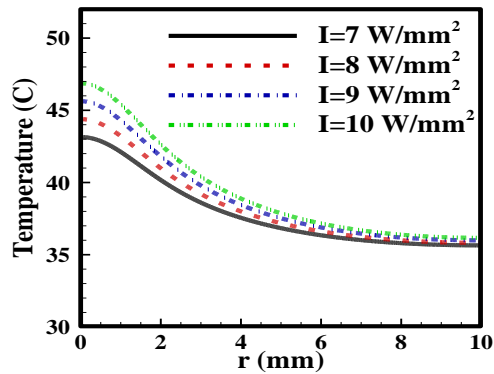


شکل ۱۰ کانتور تغییرات جابه جایی در لایه های پوست به ازای  $\lambda=532\text{nm}$

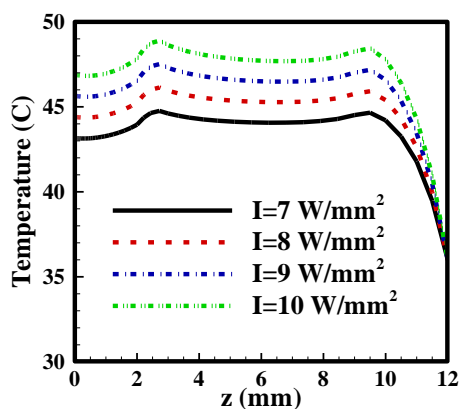
جدول ۳ مقایسه ماکزیمم تنش فون مایسز بدست آمده از مطالعه حاضر با نتایج مرجع [۲۵] در  $I=2\text{W/mm}^2$  و  $\sigma=1\text{mm}$ ،  $z=0$ ،  $r=0$  در [۲۵]

	ماکزیمم تنش (MPa)	
	$\lambda=532\text{nm}$	$\lambda=800\text{nm}$
وانگچاداکول و همکاران [25]	۰/۰۱۷۲	۰/۰۱۲۸
مطالعه حاضر	۰/۰۰۷۱	۰/۰۰۶۷

در مقایسه با بافت سالم است. همچنین در شکل (۱۲) در فاصله ارتفاع ۳ میلی متری تا ۹ میلی متری که تومور واقع شده است، تغییرات دمایی درخور ملاحظه ای مشاهده نمی شود که این امر به دلیل سرعت پایین خون در بافت سرطانی است.



شکل ۱۱ تغییرات دمایی بافت در راستای شعاعی در  $\sigma=1\text{mm}$  و  $\lambda=532\text{nm}$



شکل ۱۲ تغییرات دمایی بافت سرطانی در راستای طولی در  $\sigma=1\text{mm}$  و  $\lambda=532\text{nm}$

باتوجه به توضیحات ارائه شده، برای بررسی آسیب های حرارتی، بافت حاوی تومور سرطانی را در

### نتایج پارامتریک بافت پوست حاوی تومور سرطانی

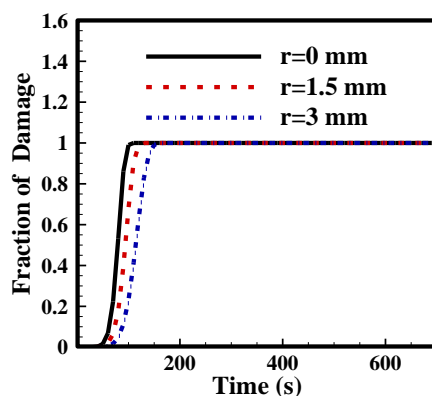
در ادامه، بافت پوست حاوی تومور سرطانی زیر تابش لیزر بررسی می شود. برای مؤثر واقع شدن تابش لیزر در از بین بردن تومور سرطانی، شدت و مدت تابش، باتوجه به توضیحات ارائه شده مربوط به شکل ۲ تعیین می شود.

در شکل های (۱۱) و (۱۲) تغییرات دما در راستای شعاعی و طولی و به ازای شدت تابش های مختلف بررسی شده است. از مقایسه این شکل دریافت می شود که شیب تغییرات دمایی در حالت شعاعی بیشتر از طولی است و این امر به دلیل شرایط مرزی حاکم بر سطح بافت (انتقال حرارت جابه جایی) است. این سطح در معرض جابه جایی جریان هوای عبوری قرار دارد و پیوسته گرما را به سطح اطراف بافت منتقل می کند.

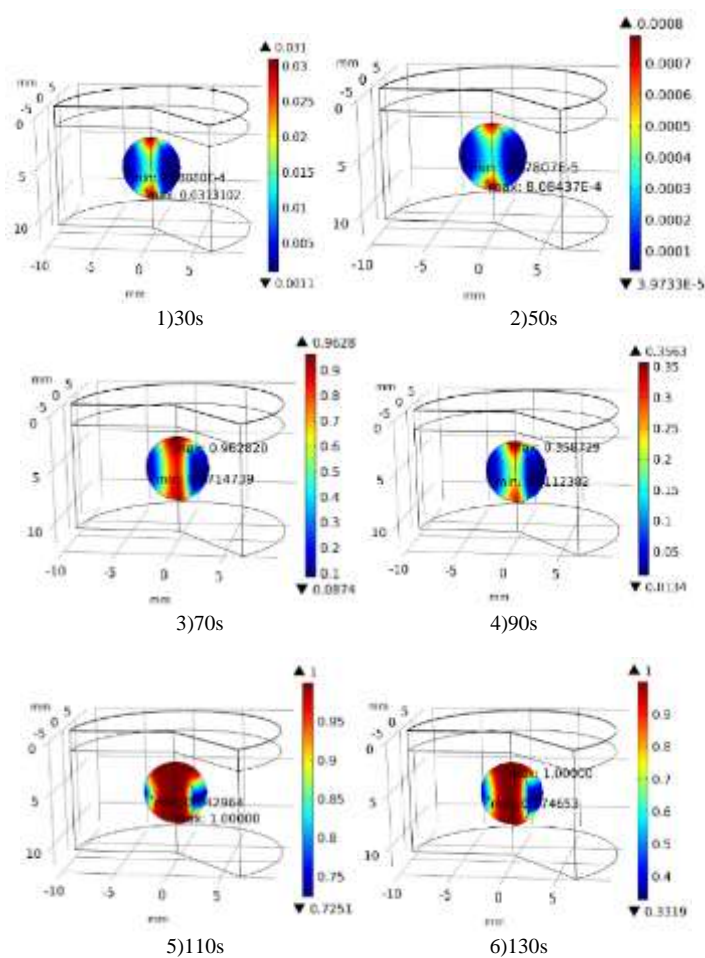
اثر گرما بر روی بافت های توموری بسیار شدیدتر از بافت سالم است. جریان خون در بافت سالم با افزایش درجه حرارت به سرعت افزایش می یابد. اما در تومورها با افزایش دما، انسداد عروقی رخ می دهد. افزایش سرعت خون در بافت سالم می تواند باعث تبادل حرارت در حین درمان شود. اما در تومور تبادل و انتقال حرارت به دلیل سرعت کم خون و آسیب عروقی ناچیز است. در نتیجه در روش گرمادرمانی با لیزر، آسیب بیشتری به تومور در قیاس با بافت سالم وارد می شود. همچنین دمای بیشتری در تومور در مقایسه با بافت سالم مشاهده می شود. همان طور که در شکل (۱۲) مشخص است، تغییرات دمایی در ۲ نقطه به صورت ناگهانی افزایش می یابد. این ۲ نقطه منطبق بر ناحیه مرزی تومور و بافت سالم است و حاکی از افزایش دما در تومورهای سرطانی

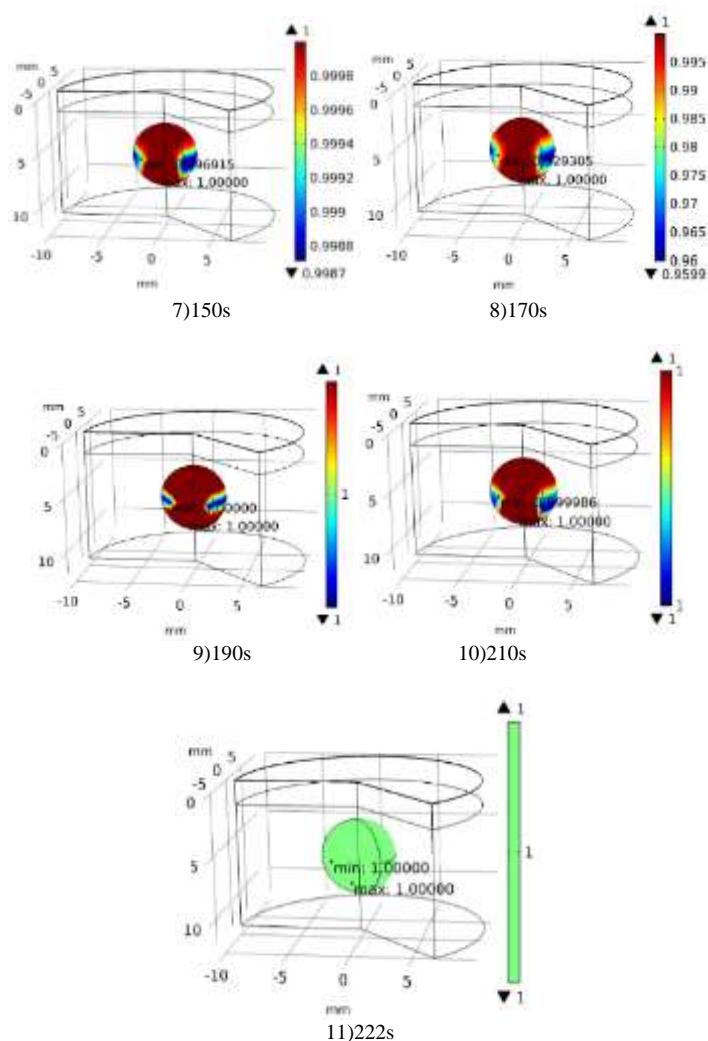
شکل، با فاصله گرفتن از مرکز تومور در راستای شعاعی، برای این که آن بخش از تومور به حالت برگشت ناپذیری برسد، زمان بیشتری باید صرف کرد.

بحرانی ترین حالت از نظر ماکزیمم دمایی (شدت تابش  $20\text{W/mm}^2$ ) انتخاب می کنیم و با در نظر گرفتن ۳ نقطه در فواصل ۰ و  $1/5$  و ۳ میلی متر در راستای شعاعی، آسیب حرارتی بررسی می شود (شکل ۱۳). باتوجه به این



شکل ۱۳ تابع آسیب در ۳ نقطه از بافت تومور در راستای شعاعی





شکل ۱۴ کانتور تغییرات تابع آسیب در ۲۲۲ ثانیه تابش پیوسته لیزر

تابش به حالت برگشت‌ناپذیر تبدیل می‌شوند و آخرین ناحیه‌ای که تحت تأثیر قرار می‌گیرد، کمر بند میانی تومور است.

### نتیجه‌گیری

در این مطالعه، تغییرات دما، تنش‌های حرارتی و آسیب حرارتی ناشی از فرایند گرم‌درمانی با کمک لیزر روی بافت پوست و با بهره‌گیری از حل عددی مبتنی بر روش المان محدود، مدل‌سازی شده است. همچنین اثرات تنش حرارتی و جابه‌جایی‌های اتفاق‌افتاده در درمان با لیزر

در شکل (۱۴) روند فراگیر شدن حالت برگشت‌ناپذیری در تومور سرطانی برای از بین بردن کامل تومور مشاهده می‌شود. این روند در ۲۲۲ ثانیه و با شعاع تابش ۲ میلی‌متر و شدت تابش ۱۰ وات بر میلی‌متر مربع و با طول موج ۸۰۰ نانومتر محقق شده است. برای درک بهتر از روند برگشت‌ناپذیری تومور سرطانی، نواحی‌ای از تومور زیر تابش و نحوه شکل‌گیری و فراگیری برگشت‌ناپذیری تومور در مدت مشخص در شکل (۱۴) قابل مشاهده است. همان‌طور که مشخص است، در شروع تابش، ابتدا نواحی بالایی و پایینی تومور تحت تأثیر

a	ضریب جذب، 1/m	روی یک بافت سرطانی و سالم پوست بررسی شد و
b	ضریب پراکندگی، 1/m	تغییرات پارامترهای مؤثر در طی درمان همچون شعاع
E	مدول یانگ، Mpa	تابش، شدت تابش و طول موج لیزر و همچنین میزان
u	میانگین جابجایی، m	پرفیوژن خون مطالعه شد. نتایج نشان می‌دهد هنگامی که
E <sub>a</sub>	انرژی فعال‌سازی، J/mol	شدت و زمان تابش ثابت باشد، افزایش طول موج لیزر
A	ضریب معادله آرینیوس، 1/s	منجر به کاهش درجه حرارت پوست می‌شود و جذب
R	ثابت جهانی گازها، J/(mol.K)	انرژی لیزر در طول موج‌های کوتاه‌تر در مقایسه با طول
h	ضریب انتقال حرارت جابجایی، W/(m <sup>2</sup> .K)	موج‌های بلندتر، بیشتر خواهد بود. همچنین، هرچه شدت
r	مختصات شعاعی	تابش بیشتر شود، درجه حرارت درون بافت بیشتر
Z	مختصات محوری	می‌شود. تفاوت خصوصیات حرارتی، نوری و مکانیکی
	<b>علائم یونانی</b>	لایه‌های پوست در گرمادرمانی منجر به تغییرات (انقباض
ρ	چگالی بافت، kg/m <sup>3</sup>	و انقباض) بافت در سطوح بالایی (با شدت بیشتر)
ω	نرخ پرفیوژن، 1/s	می‌شود. نتایج نشان می‌دهد، کنترل و تغییرات شدت و
σ	عرض ناحیه تابش لیزر، mm	شعاع پرتو لیزر در طی درمان امری ضروری است و
λ	طول موج تابش لیزر، nm	بی‌دقتی در انتخاب درست این پارامترها منجر به آسیب
ε	کرنش	می‌شود. همچنین زمان تابش و میزان پرفیوژن خون از
φ	مختصات مماسی	شاخص‌های مهم در تغییرات دما در بافت پوست هستند.
v	ضریب پواسون	
Ω	میزان تخریب بافت	<b>واژه نامه</b>
	<b>زیرنویس</b>	<b>علائم انگلیسی</b>
b	خون	T دمای بافت، K
am	محیط	t زمان، s
laser	لیزر	C ظرفیت حرارتی، J/(kg.K)
0	سطح پوست	k هدایت حرارتی، W/(m.K)
	<b>بالانویس</b>	Q <sub>met</sub> تولید حرارت متابولیک، W/m <sup>3</sup>
th	حرارتی	Q <sub>laser</sub> تولید حرارت توسط لیزر، W/m <sup>3</sup>
		I شدت تابش لیزر، W/mm <sup>2</sup>

## مراجع

1. Busch, W., "Über den Einfluss welchen heftigere Erysipelen zuweilen auf organisierte Neubildungen ausuben.", *Verhandlungen des Naturh. Preuss Rheinl.*, Vol. 23, pp. 28-30, (1866).
2. Mould, R. F., "A century of X-rays and radioactivity in medicine: with emphasis on photographic

- records of the early years", CRC Press, Boca Raton, (1993).
3. Orton, C. G., "Uses of therapeutic x rays in medicine", *Health physics*, Vol. 69, pp. 662-676, (1995).
  4. Warren, S. L., and Whipple, G. H., "Roentgen ray intoxication: II. The cumulative effect or summation of x-ray exposures given at varying intervals", *Journal of Experimental Medicine*, Vol. 38, pp. 725-730, (1923).
  5. Wang, P., Sun, S., Ma, H., Sun, S., Zhao, D., Wang, S. and Liang, X., "Treating tumors with minimally invasive therapy: A review", *Materials Science and Engineering: C*, Vol. 108, 110198, (2020).
  6. Maiman, T., "Optical and microwave-optical experiments in ruby", *Physical Review Letters*, Vol. 4, pp. 564-566, (1960).
  7. Zaret, M. M., Breinin, G. M., Schmidt, H., Ripps, H., Siegel, I. M., Solon, L. R., "Ocular lesions produced by an optical maser (laser)", *Science*, Vol. 134, 1525-1526, (1961).
  8. Xu, F. and Lu, T., "Introduction to Skin Biothermomechanics and Thermal Pain", Springer, Berlin, (2011).
  9. Fung, Y.C., "Biomechanics: Motion, Flow, Stress, and Growth", Springer, New York, (1990).
  10. Sherrington, C. S., "The Integrative Action of the Nervous System", Charles Scribner's Sons, New York, (1906).
  11. Pennes, H. H., "Analysis of tissue and arterial blood temperatures in the resting human forearm", *Journal of Applied Physiology*, Vol. 85, pp. 5-34, (1998).
  12. Paul, A., Narasimhan, A., Kahlen, F. J., Das, S. K., "Temperature evolution in tissues embedded with large blood vessels during photo-thermal heating", *Journal of Thermal Biology*, Vol. 41, pp. 77-87, (2014).
  13. Chen, K., Liang, Y., Zhu, W., Sun, X., Wang, T., "Simulation of temperature in skin under laser irradiation with different wavelengths", *Optica*, Vol. 125, pp. 1676-1679, (2014).
  14. Wessapan, T., Srisawatthisukul, S., Rattanadecho, P., "Numerical analysis of specific absorption rate and heat transfer in the human body exposed to leakage electromagnetic field at 915 MHz and 2450 MHz", *ASME Journal of Heat Transfer*, Vol. 133, 051101, (2011).
  15. Lee, S. L. and Lu, Y. H., "Modeling of bioheat equation for skin and a preliminary study on a noninvasive diagnostic method for skin burn wounds", *Burns*, Vol. 40, pp. 930-939, (2014).
  16. Li, X., Zhong, Y., Jazar, R. and Subic, A., "Thermal-mechanical deformation modelling of soft tissues for thermal ablation", *Bio-Medical Materials and Engineering*, Vol. 24, pp. 2299-2310, (2014).
  17. Singh, R., Das, K., Mishra, S. C., Okajima, J. and Maruyama, S., "Minimizing tissue surface overheating using convective cooling during laser-induced thermal therapy: a numerical study", *Journal of Thermal Science and Engineering Applications*, Vol. 8, 011002, (2016).
  18. Keangin, P., Wessapan, T. and Rattanadecho, P., "Analysis of heat transfer in deformed liver cancer modeling treated using a microwave coaxial antenna", *Applied Thermal Engineering*, Vol. 31, pp. 3243-3254, (2011).

19. Aguilar, G., Diaz, S. H., Lavernia, E. J. and Nelson, J. S., "Cryogen spray cooling efficiency: improvement of port wine stain laser therapy through multiple- intermittent cryogen spurts and laser pulses", *Lasers in Surgery and Medicine*, Vol. 3, pp. 27–35, (2002).
20. Bhowmik, A., Repaka, R., Mishra, S. C. and Mitra, K., "Thermal assessment of ablation limit of subsurface tumor during focused ultrasound and laser heating", *Journal of Thermal Science and Engineering Applications*, Vol. 8, 011012, (2016).
21. Delalleau, A., Josse, G., Lagarde, J. M., Zahouani, H. and Bergheau, J. M., "Characterization of the mechanical properties of skin by inverse analysis combined with the indentation test", *Journal of Biomechanics*, Vol. 39, pp. 1603–1610, (2006).
22. Niems, M. H., "Laser-Tissue Interactions", Springer, Berlin, (2007).
23. Ma, J., Yang, X., Sun, Y. and Yang, J., "Thermal damage in three-dimensional vivo bio-tissues induced by moving heat sources in laser therapy", *Scientific Reports*, Vol. 9, 10987, (2019).
24. Singh, S. and Melnik, R. "Thermal ablation of biological tissues in disease treatment: A review of computational models and future directions", *Electromagnetic Biology and Medicine*, Vol. 39, pp. 49-88, (2020).
25. Wongchadukul, P., Rattanadecho, P. and Wessapan, T., "Implementation of a thermomechanical model to simulate laser heating in shrinkage tissue (effects of wavelength, laser irradiation intensity, and irradiation beam area)", *International Journal of Thermal Sciences*, Vol. 134, pp. 321–336, (2018).



## A Numerical Study on the Thermal Stress caused by Laser Radiation on Healthy and Cancerous Skin Tissue

Sajjad Davoodi<sup>1</sup> Mostafa Esmaeili<sup>2</sup>,

Hassan Shokrollahi<sup>3</sup>

### 1. Introduction

The heat generation during laser-induced thermotherapy can damage healthy tissue. Therefore, it is necessary to predict the temperature distribution and the possibility of tissue damage due to temperature rise. To determine the appropriate duration and intensity of laser irradiation on the tissue, simulation tools can be used to predict the thermal and mechanical responses of the tissue. Skin is the largest sensory organ that can respond to stimuli such as temperature, touch, vibration, pressure, and pain. During heating, mechanical stress is created due to the thermal denaturation of the skin, which leads to contraction. Then, mechanical and thermal energy are transduced to an ionic current that leads, in turn, to the sensation of pain. As a result, thermal stress, thermal damage, and pain are closely related.

In this research, temperature changes and thermal stresses caused by the laser's heat on a healthy and cancerous tissue of human skin, are modeled using a numerical algorithm based on the finite element method. It is necessary to mention that the laser beams are considered in the Gaussian form and the laser beam attenuation in the skin layers is based on the Beer-Lambert law and the deformation in all points of the element is expressed by equilibrium equations.

Numerical solution results include the effect of the laser wavelength, irradiation intensity, and beam radius on the temperature distribution, von-Mises stress, and also the impact of the blood perfusion on the temperature distribution. The thermal damages caused by the laser on the cancerous tissue are also examined based on the Arrhenius theory. Current results can be provided for the physicians as basic information and to provide an exact prediction of the occurrences during the treatment for them.

### 2. Formulation and Governing Equations

At first, a cylindrical human skin element consisting of the three layers of epidermis, dermis,

and a fat layer with the thickness of 0.05, 1.95, and 10 millimeters respectively (as shown in Figure 1) is modeled in axial symmetric form and the mechanical, thermal and the optical properties of each layer are determined.

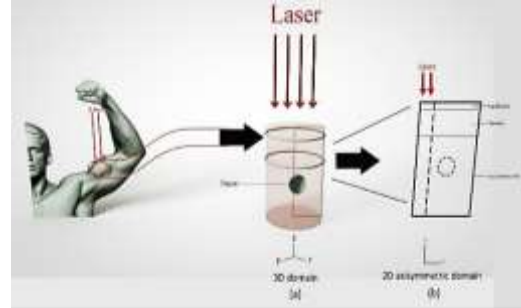


Figure 1. Two- and three-dimensional models of skin tissue under laser irradiation

In the second step, a spherical tumor with a radius of 3 millimeters is considered in the depth of 6 millimeters in the tissue and with the exact centrality of the tissue in the middle of the third layer which is the fat layer.

Another hypothesis is that the approximately uniform tissue is homogeneous and isotropic, meaning that there is no difference in the thermal and optical parameters in any layer. In addition to that, the laser source is considered to be circular. The surface between the tissue layers is also considered to be smooth, and the heat transfer is considered transient. To express the generated heat in the tissue that is under the laser beam, Pence equations are used. This equation is expressed as follows

$$\rho C \frac{\partial T}{\partial t} = \nabla \cdot (k \nabla T) + \rho_b C_b \omega_b (T_b - T) + Q_{\text{met}} + Q_{\text{laser}} \quad (1)$$

Equilibrium equations, stress-strain equations, and strain-displacement equations are expressed in equations (2) to (8).

$$\frac{\partial \sigma_{rr}}{\partial r} + \frac{\partial \sigma_{rz}}{\partial z} + \frac{\sigma_{rr} - \sigma_{\phi\phi}}{r} + F_r = 0 \quad (2)$$

$$\frac{\partial \sigma_{rz}}{\partial r} + \frac{\partial \sigma_{zz}}{\partial z} + \frac{\sigma_{rz}}{r} + F_z = 0 \quad (3)$$

$$\varepsilon_{rr} = \frac{1}{E} [\sigma_{rr} - \nu(\sigma_{\phi\phi} + \sigma_{zz})] + \varepsilon^{\text{th}} \quad (4)$$

$$\varepsilon_{zz} = \frac{1}{E} [\sigma_{zz} - \nu(\sigma_{\phi\phi} + \sigma_{rr})] + \varepsilon^{\text{th}} \quad (5)$$

$$\varepsilon_{\phi\phi} = \frac{1}{E} [\sigma_{\phi\phi} - \nu(\sigma_{rr} + \sigma_{zz})] + \varepsilon^{\text{th}} \quad (6)$$

$$\varepsilon_{rz} = \frac{\sigma_{rz}(1+\nu)}{E} \quad (7)$$

<sup>1</sup>. MSc, Department of Engineering, Kharazmi University, Tehran, Iran.

<sup>2</sup>. Corresponding Author. Assistant Professor, Department of Mechanical Engineering, Faculty of Engineering, Kharazmi University, Tehran, Iran. Email: m.esmaeili@khu.ac.ir

<sup>3</sup>. Assistant Professor, Department of Mechanical Engineering, Faculty of Engineering, Kharazmi University, Tehran, Iran.

$$\epsilon_{rr} = \frac{\partial u_r}{\partial r}, \epsilon_{\theta\theta} = \frac{\partial u_\theta}{\partial r}, \epsilon_{\phi\phi} = \frac{u}{r}, \epsilon_{rz} = \frac{1}{2} \left( \frac{\partial u_r}{\partial z} + \frac{\partial u_z}{\partial r} \right) \quad (8)$$

To calculate the heat loss fraction of cells in tumors and tissues, the Arrhenius equation is used as equation (9).

$$\Omega = \ln \left( \frac{c(r,\tau)}{c(r,0)} \right) = \int_0^\tau A \cdot \exp \left( -\frac{E_a}{RT} \right) dt \quad (9)$$

### 3. Results and Discussion

The variation of von-Mises stresses in 600 seconds in the wavelengths of 532 and 800 nanometers and the radiation radius of 1 millimeter are derived and compared to Pacharaporn and colleagues in Table 1. According to the Table 1, when the wavelength increases, von-Mises stress is decreased in the center of the tissue facing the direct beam. This is because the absorption coefficient is higher in the skin tissue in the wavelength of 532 nanometers compared to the wavelength of 800 nanometers which causes more heat absorption in the surface and that comes along with higher stress.

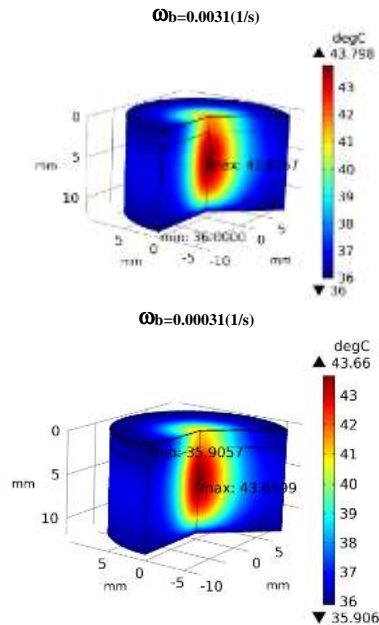
**Table 1. Comparison of maximum von-Mises stresses obtained from the present study with that of Pacharaporn et al. [25] in r=0 and z=0 for  $\sigma=1\text{mm}$  and  $I=2\text{ W/mm}^2$**

	$\lambda=532\text{ nm}$	$\lambda=800\text{ nm}$
Wongchadukul et al. [25]	0.0172 Mpa	0.0128 Mpa
Present study	0.0071 Mpa	0.0067 Mpa

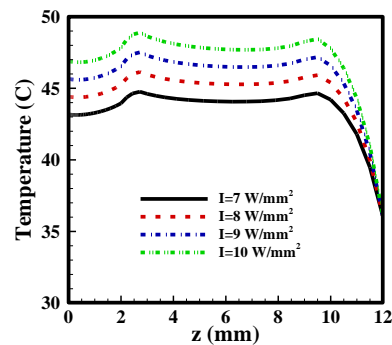
The impact of the blood perfusion on the heat distribution in the dermis layer of the skin is shown in Figure 2. As shown, the amount of blood perfusion is inversely related to the heat distribution which means that if the blood perfusion is increased, the maximum temperature is decreased. It is because of the convection heat transfer in the skin tissue and the increase in the blood perfusion during the laser therapy.

The impact of heat on the tumor tissues is very more intense compared to the healthy tissues. The blood flow velocity in the healthy tissue increases immediately when the temperature increases. But in the tumors when the temperature is increased, vascular occlusion occurs. The increase in the blood speed can cause heat transfer during the therapy but in the tumor, the heat transfer is low because of the low blood speed and the vascular damage. As a result, in the thermotherapy with the laser, more damage is done to the tumor tissue compared to the healthy tissue. Moreover, the temperature is higher in the tumor in comparison to the healthy tissue. As Figure 3 shows, a sudden increase is observed in temperature distribution in the longitudinal direction at  $\sigma=1\text{mm}$  and  $\lambda=532\text{nm}$ . These two points are in the boundary of the tumor and healthy tissue and this indicates the temperature increase in the cancerous tumor in comparison to the healthy tissue. Figure 3 shows

that in  $z=3\text{mm}$  to  $9\text{mm}$ , which is the space that the tumor exists on, there is no noticeable temperature change and this is caused by the low blood speed in the cancerous tissue.



**Figure 2. Temperature distribution in the dermis layer of the skin in t=600s in two different blood perfusions at  $I=2\text{w/mm}^2$ ,  $\sigma=2\text{mm}$  and  $\lambda=532\text{nm}$**



**Figure 3. Variations of cancerous tissue temperature in the longitudinal direction at  $\sigma=1\text{mm}$  and  $\lambda=532\text{nm}$**

### 4. Conclusion

Results showed that the temperature distribution and the laser penetration depth and the von-Mises stress depend on the radiation time, wavelength, laser irradiation intensity, laser beam radius, and the amount of blood perfusion. The differences in thermal, optical, and mechanical properties between skin layers during the thermotherapy cause changes with greater intensity in the tissue in upper levels (in the form of expansion and contraction). The study showed that the control and change in the effective parameters on laser beam during the treatment is necessary and any inaccuracy in the selection of these parameters results in injury and pain.